

株式会社 精研

正員

岡本 純

"

"

生駒 孝博

"

"

山本 英夫

1. 序言

凍土の一軸圧縮特性に大きく影響する内的要因として、土粒子の粒径及び粒径分布が考えられる。此のうち、粒径そのものについては、狭い粒径範囲ごとに分類して試料土を用いて一軸圧縮強度との関係を調べた。その結果は前回報告レポート通りである。今日は分類レシラの細粒土($1\sim 20\mu$)と粗粒土($25\sim 250\mu$)を種々の割合で混合して試料土を用いて実験を行ない、土の粒径分布が凍土の一軸圧縮特性に及ぼす影響について、細粒土と粗粒土の配合比という点から調べて結果を報告する。

2. 実験方法

実験はすべて、温度 -10°C 、歪速度 $1\%/\text{min}$ で行なった。試験機及び温度制御方法については文献²⁾を参照されたい。試料土は豊浦標準砂から筋いかけに粗粒土と、豊浦標準砂を粉碎してそれを水や洗浄法により分類して細粒土を用いた。これらを配合を示す記号として、粗粒土の重量割合を百分率で表すS(Sandの意)をフケルを用いる。例えば、100Sは全部が粗粒土、0Sは全部が細粒土であることを示す。粒径分布曲線の例を図-1に示す。供試体の作製方法を次に述べる。まず、乾燥粉末状態にて細粒土、粗粒土を所定の配合で十分に混ぜあわせる。これをアクリル製モールドに突き固めて充填するが、この時突き固めの程度を加減して、各配合で乾燥密度の異なるいくつかの供試体を作成する。次に供試体の下部ヨリ水を浸透させ、ほぼ飽和状態にする。これを -20°C の冷凍庫で凍結して後、モールドから抜き両端面を仕上げる。なお、供試体は直径5cm、高さ10cmの円柱形である。細粒土が多い配合では供試体の表面に不規則な形の折出氷晶がみられた。この様にして作製して供試体の氷飽和度は85~95%となつた。

3. 実験結果及び考察

図-2に応力-歪曲線の例を示す。各曲線に付けて数字は配合と乾燥密度(g/cm^3)を表わし、実線はその配合での比較的密な充填、破線は疎充填であることを示す。図のようく、配合により、また乾燥密度により、応力-歪曲線は多様な形となるが、これらは統括的にみると、図-3に模式的に示すような応力-歪曲線の形に集約されることが大きると考えられる。図-3で、点Aは荷重減少点、D_pは降伏点である。図-2より、 ϵ_p は1%以下であることがわかった。また、

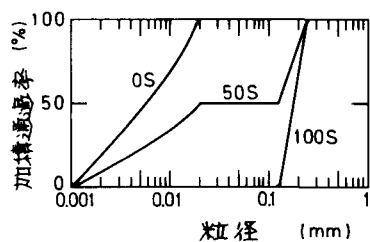
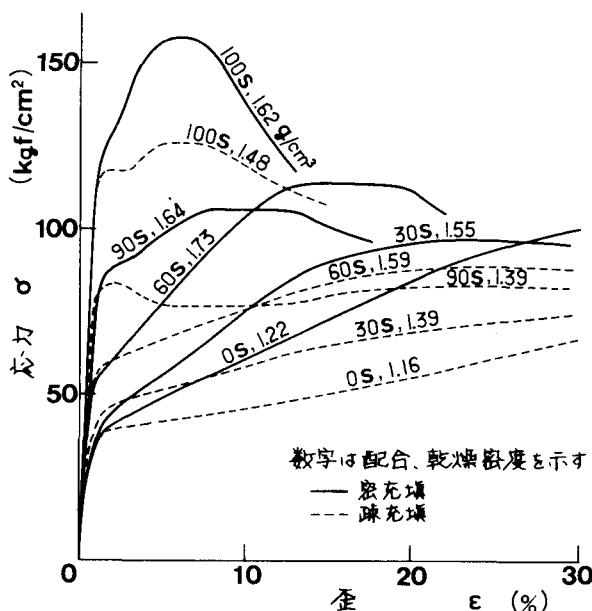


図-1. 粒径分布曲線の例

図-2. 応力-歪曲線の例 ($100 \text{ kgf}/\text{cm}^2 = 9.8 \text{ MN}/\text{m}^2$)

点Qは降伏後、歪が更に進行した後、応力にピークや現われぬ点で、 q_u は最大応力をあらわす。図-3はより、 ϵ_u は約5%以上で、歪が30%以上にならっても応力ピークを持たない場合もある。実験時供試体の観察結果では、肉眼で見えたようならクラックは点Q以後現われぬ。それ以後に現われる。また、各供試体の応力-歪曲線から図-3に示す σ_p 、 q_u 等の情報をとりだし、配合との関係について検討する。まず、図-4に q_u と配合の関係を示す。歪が30%にならぬまでに応力ピークが存在しないものについては σ_{10} (歪が10%時の応力)をとった。0Sの配合では応力ピークは、歪が30%までは現われぬ。20S~50Sでは現われぬ場合とそうでない場合がある。60S以上ではすべて現われている。 q_u は各配合内でのばらつきが大きいが、平均的にみれば粗粒分が多い程、緩い増加傾向にある。ピーク応力がないものの σ_{10} については、配合の違いによらず変化は少ない。図-5は ϵ_u と配合の関係で、これではばらつきは大きいが、粗粒分が多いと応力ピークが現われた歪が大きくなっていることを示す。次に、図-6に σ_p と配合の関係を示す。各配合内でのばらつきはやはり残るが、 σ_p には配合によらず影響が顕著で、粗粒分が多い程、 σ_p は加速的に増加していく。なお、 σ_p は永久歪0.2%を生ずる応力をとった。

σ_p 、 q_u はそれぞれ凍土内での、何らかの形での破壊現象に關係して応力であると考えられる。凍土の強度を考えるために際しては、歪が小さい領域での破壊に關係する降伏応力 σ_p を強度の尺度とする方が、安全側であり、実験的には有効である。

4. 結言

本報告では、実験結果を粗粒土と細粒土の配合比の影響のみに限定して整理したが、各配合内でのデータのばらつきには、乾燥密度や鉛直度等に關係して系統的なものが含まれていると考えられる。今後、更に実験を進め検討したい。

最後に、本研究に際し高吉・生瀬・山本、勤氏に御指導ならびに有益な御助言を頂いたことを感謝致します。

文献1) 高吉・生瀬・山本;砂凍土の一軸圧縮強度に及ぼす粒径の影響、土木学会第35回講演概要集3, 1980

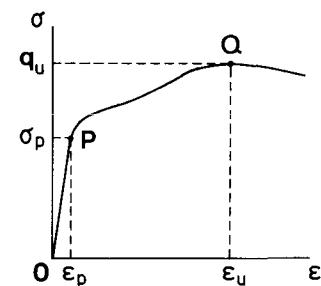


図-3. 応力-歪曲線の模式図

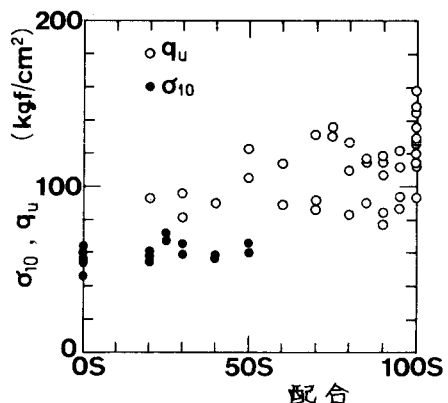


図-4. q_u , σ_{10} と配合の関係。 $(100 \text{ kgf/cm}^2 = 9.8 \text{ MN/m}^2)$

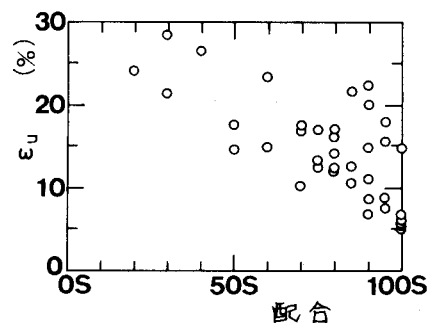


図-5. ϵ_u と配合の関係

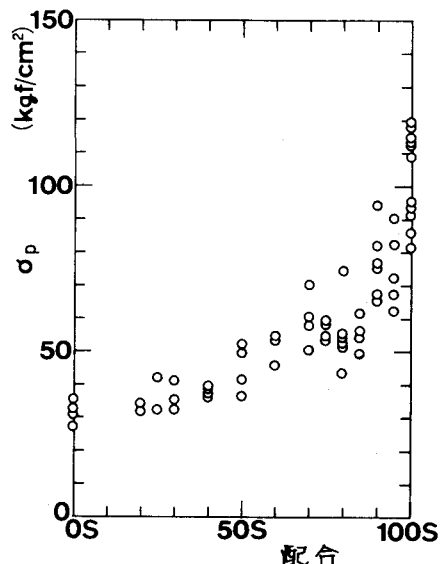


図-6. σ_p と配合の関係。 $(100 \text{ kgf/cm}^2 = 9.8 \text{ MN/m}^2)$

2) 高吉・生瀬・山本;砂凍土の一軸圧縮強度に及ぼす粒径の影響、土木学会第34回講演概要集3, 1979